

3 Generationen von je 2 Quarks:

alle sind Fermionen mit Spin $\frac{1}{2}$

u und d-Quark haben eine spin-ähnliche Quantenzahl Isospin $I = 1/2$

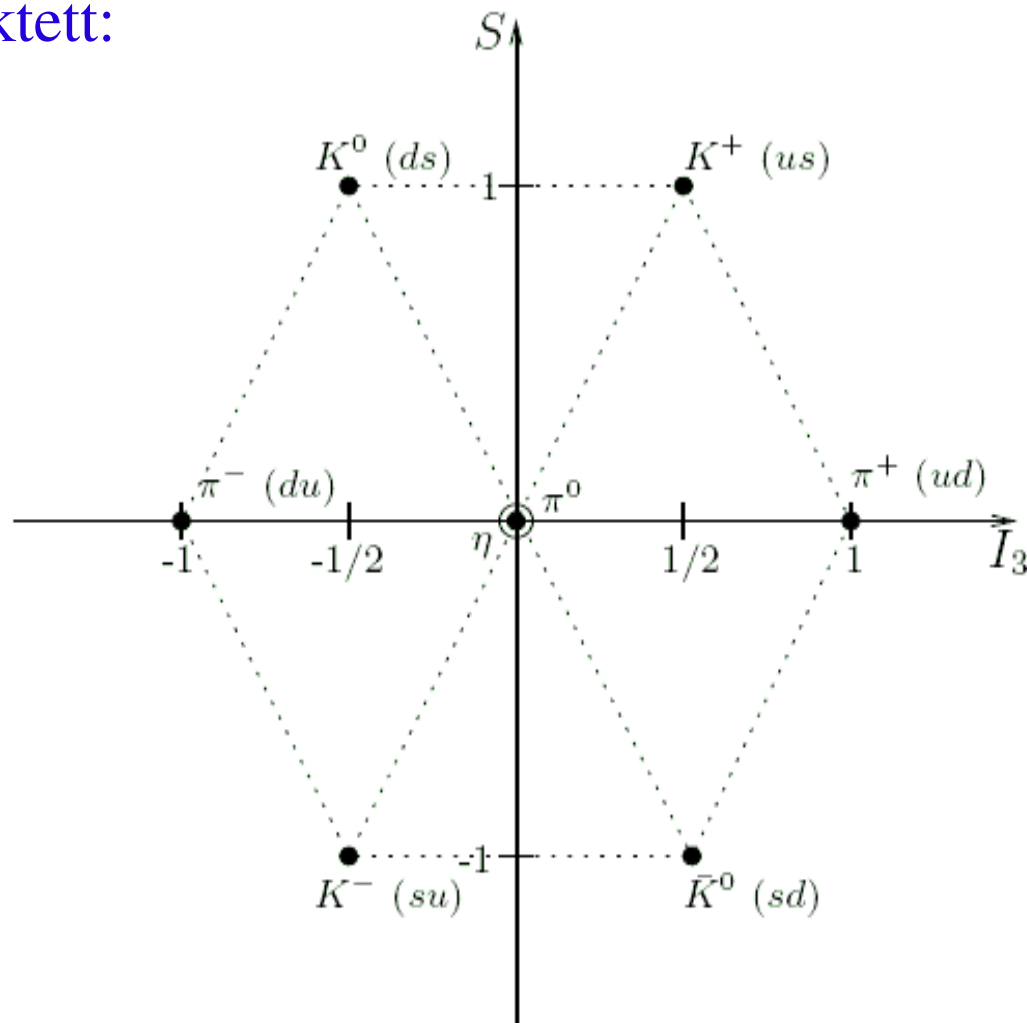
Generation	Flavour	q	m	I_3	S	C	B	T	A
1	d (down)	-1/3	$\simeq 3 \text{ MeV}$	-1/2	0	0	0	0	1/3
	u (up)	+2/3	$\simeq 5 \text{ MeV}$	+1/2	0	0	0	0	1/3
2	s (strange)	-1/3	$\simeq 100 \text{ MeV}$	0	-1	0	0	0	1/3
	c (charm)	+2/3	$\simeq 1.2 \text{ GeV}$	0	0	1	0	0	1/3
3	b (bottom)	-1/3	$\simeq 4.2 \text{ GeV}$	0	0	0	-1	0	1/3
	t (top)	+2/3	$\simeq 171 \text{ GeV}$	0	0	0	0	1	1/3

die starke und die elektromagnetische WW erhalten die “ladungsartigen” Quantenzahlen I_3, S, C, B, T, A

REORDERING THE $q\bar{q}$ STATES ACCORDING TO
STRANGENESS AND ISOSPIN COMPONENT I_3 .

	$I_3 = -1$	$-1/2$	0	$1/2$	1
$S \left\{ \begin{array}{l} 1 \\ 0 \\ -1 \end{array} \right.$		$d\bar{s}$		$u\bar{s}$	
	$d\bar{u}$		$u\bar{u}, d\bar{d}, s\bar{s}$		$u\bar{d}$
		$s\bar{u}$		$s\bar{d}$	

Oktett:



9 mögliche Zustände mit
Spin = 0
-> pseudoskalare Mesonen
von Gruppenstruktur
ein Oktett und ein Singlett

Singlett:

$I=0, J=0, S=0 \quad \eta'$

Fig. 3-1

pseudoskalare Mesonen (S=Strangeness)

Meson	Quark-Kombination	I	I_3	S	Masse / MeV
π^-	$d\bar{u}$	1	-1	0	140
π^+	$u\bar{d}$	1	1	0	140
π^0	$\frac{1}{\sqrt{2}}(d\bar{d} - u\bar{u})$	1	0	0	135
K^+	$u\bar{s}$	$1/2$	$1/2$	+1	494
K^0	$d\bar{s}$	$1/2$	$-1/2$	+1	498
K^-	$\bar{u}s$	$1/2$	$-1/2$	-1	494
\bar{K}^0	$\bar{d}s$	$1/2$	$1/2$	-1	498
η	$\frac{1}{\sqrt{6}}(d\bar{d} + u\bar{u} - 2s\bar{s})$	0	0	0	549
η'	$\frac{1}{\sqrt{3}}(d\bar{d} + u\bar{u} + s\bar{s})$	0	0	0	958

Fig. 3-1a

9 mögliche Zustände mit Spin = 1

-> Vektor-Mesonen

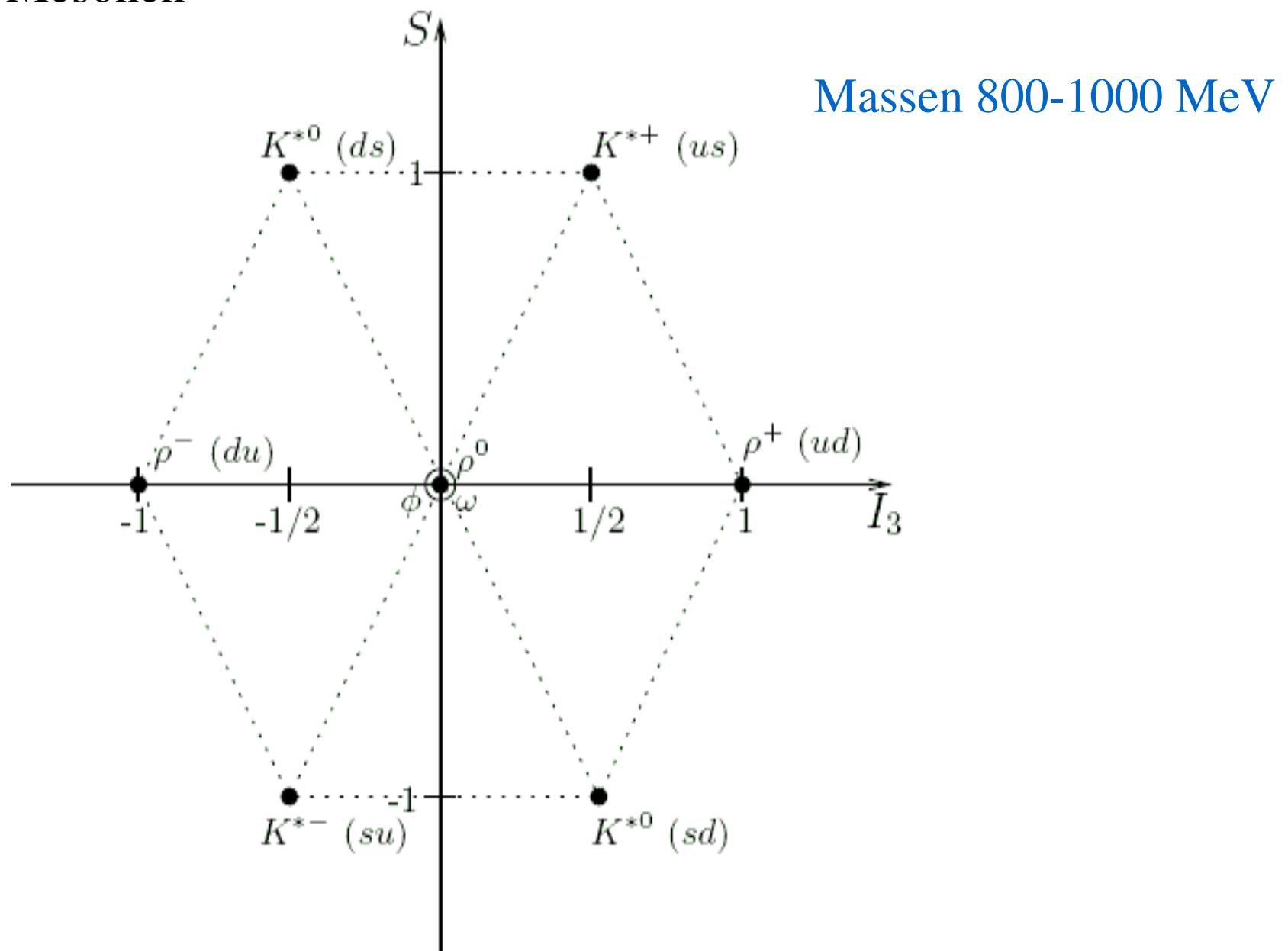
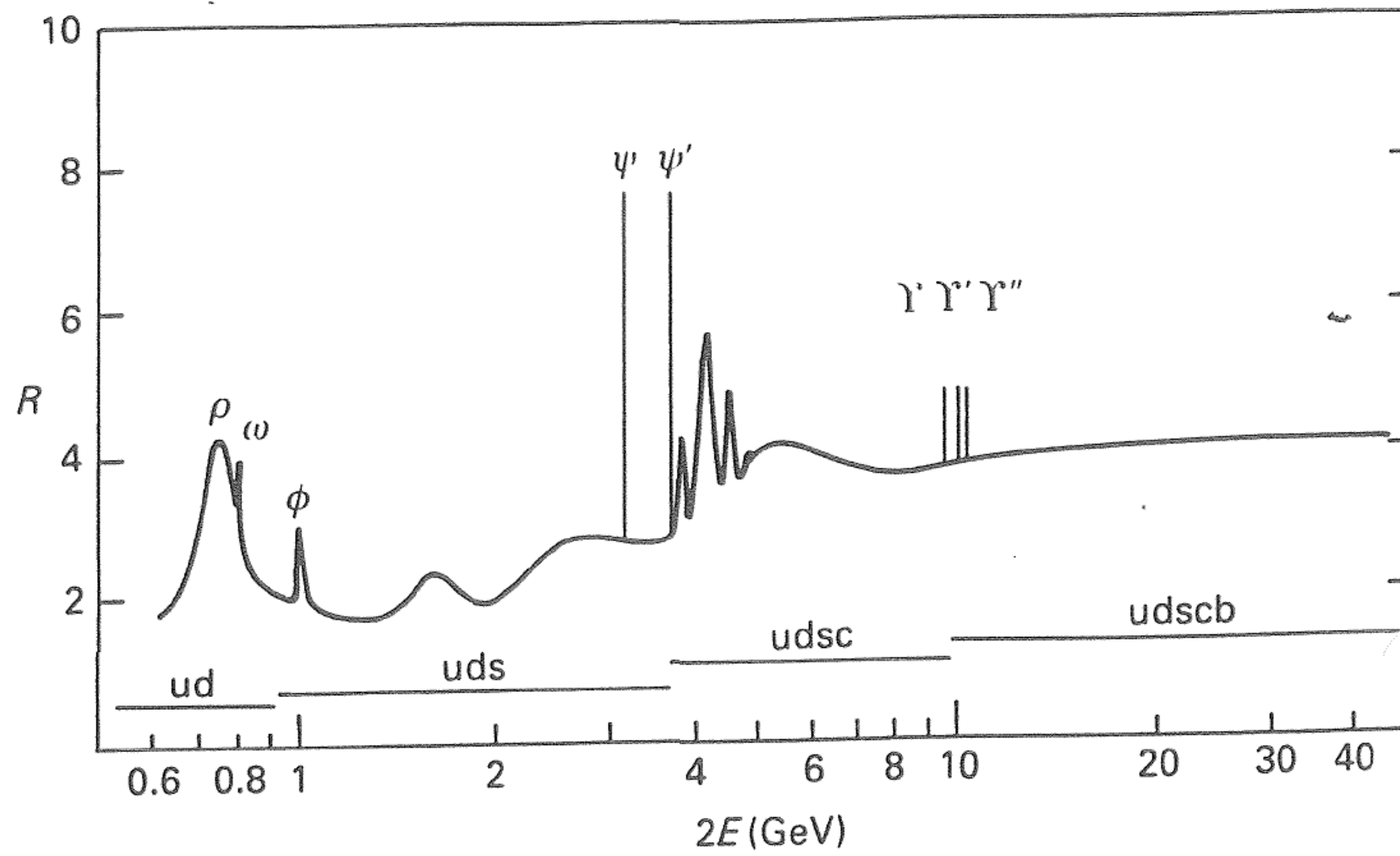
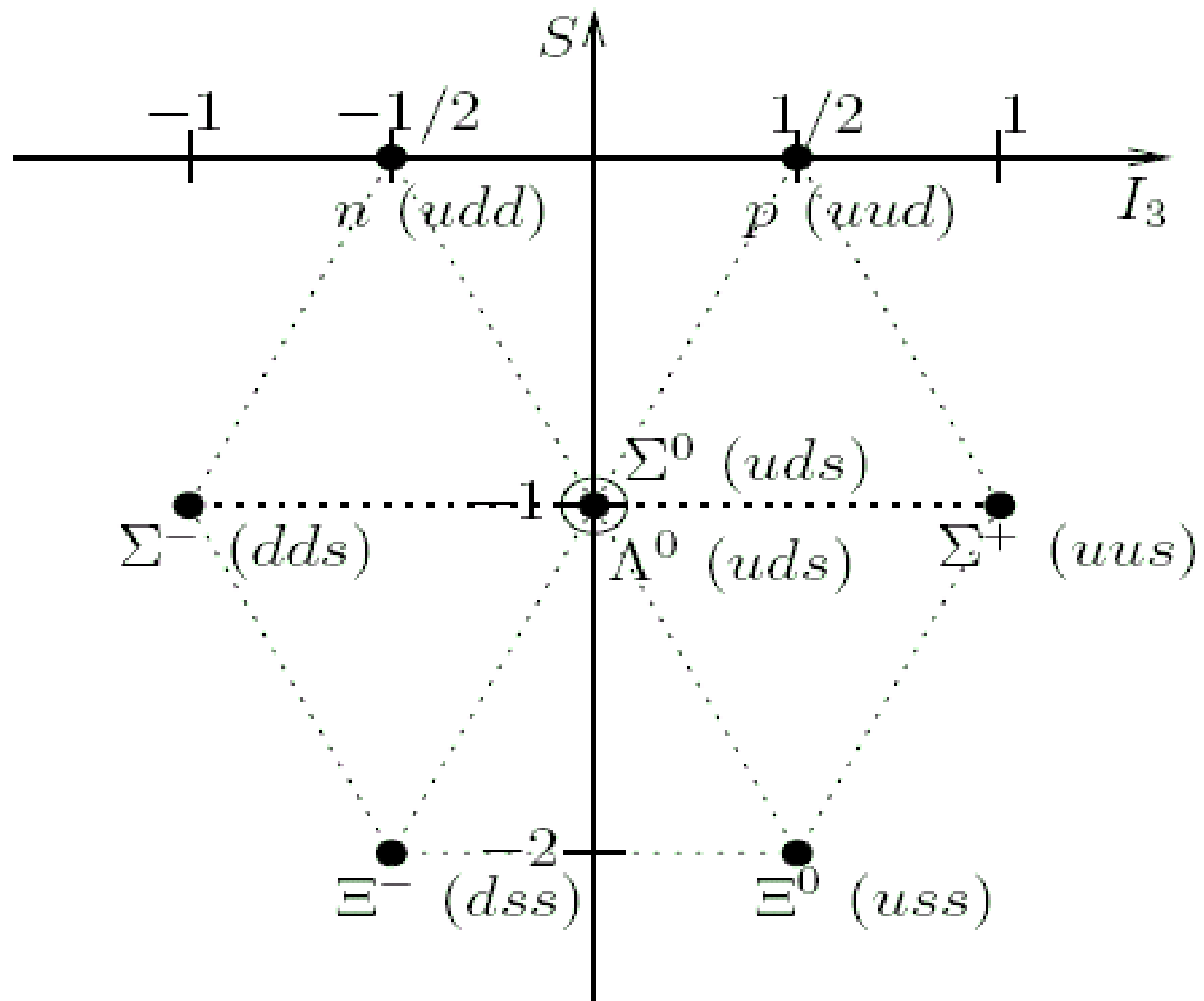


Fig. 3-2



$$R = \frac{\text{cross-section for } e^+e^- \rightarrow \text{hadrons}}{\text{cross-section for } e^+e^- \rightarrow \mu^+\mu^-}$$

Fig. 3-3



Das $\frac{1}{2}^+$ Baryon-Oktett

Fig. 3-4

das $J^\pi = 3/2^+$ Baryon-Dekuplett:

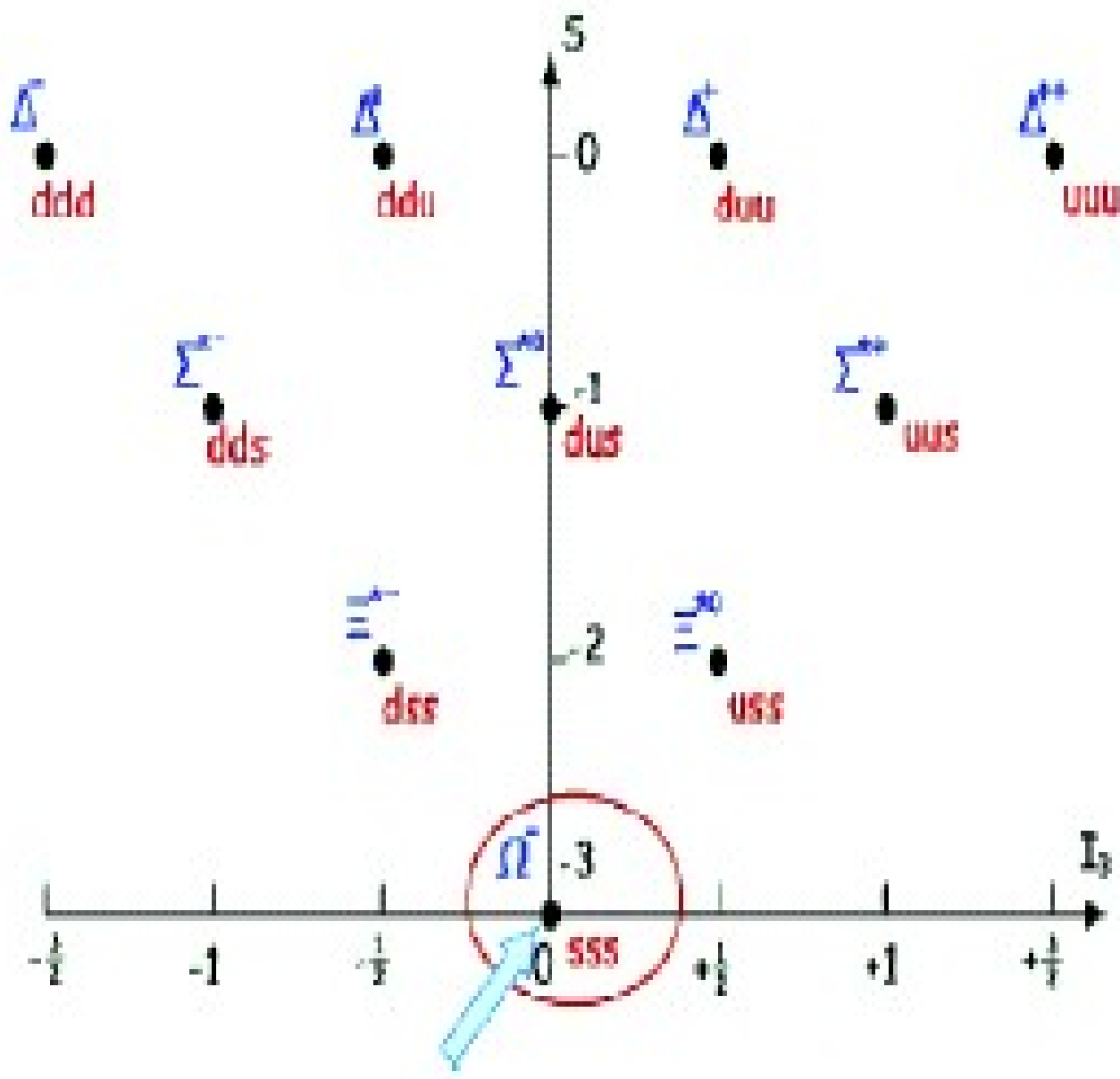


Fig. 3-5

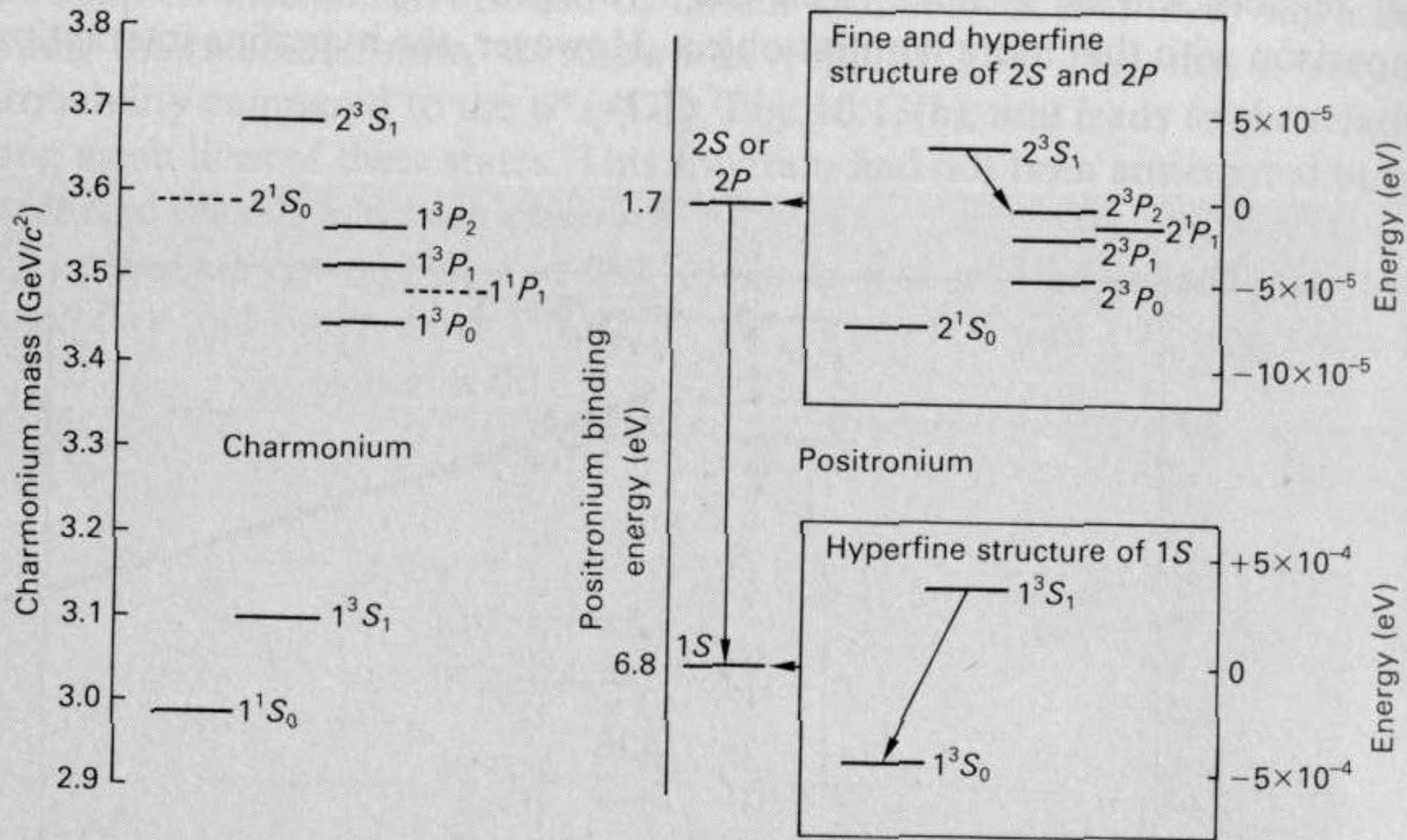
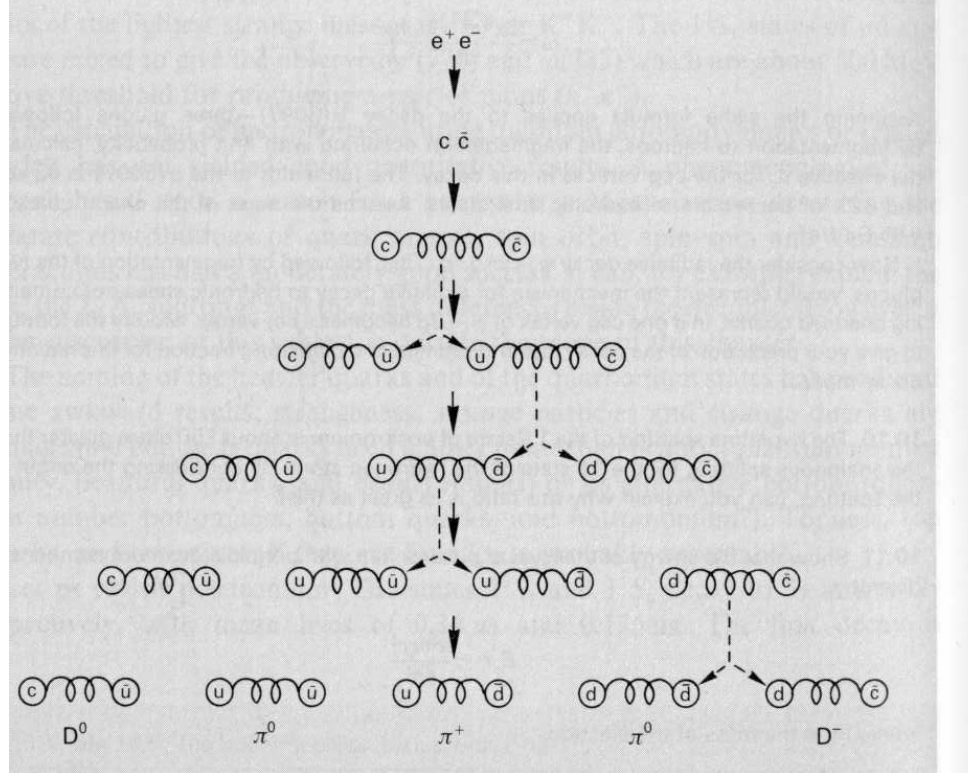


Fig. 3-6

Quarks materialisieren sich als Jets

Prinzip:



im Experiment:

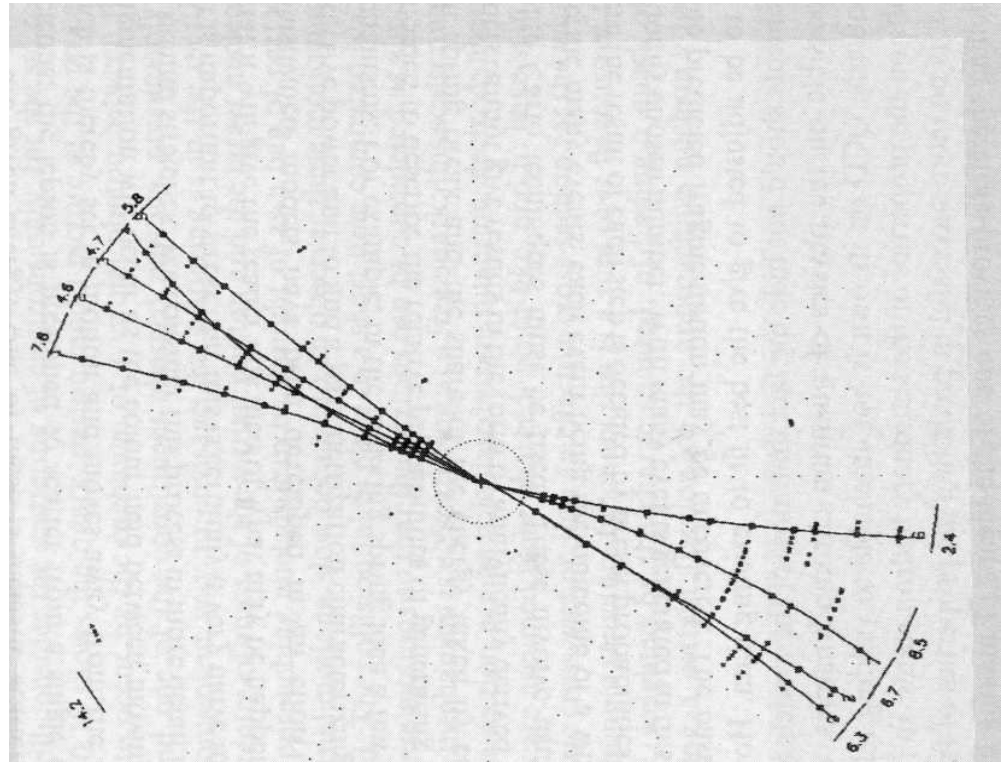


Fig. 3-7

CDF: Nachweis von 2 b-Jets aus
 $t\bar{t}$ decay

$$\begin{aligned}
 p + \bar{p} &\rightarrow t\bar{t} + X \\
 &\quad \downarrow \quad \downarrow \\
 &\quad \bar{b} + W^+ \rightarrow e^+ \nu_e \\
 &\quad \downarrow \quad \downarrow \\
 &\quad b + W^- \rightarrow q\bar{q} \text{ 2 jets}
 \end{aligned}$$

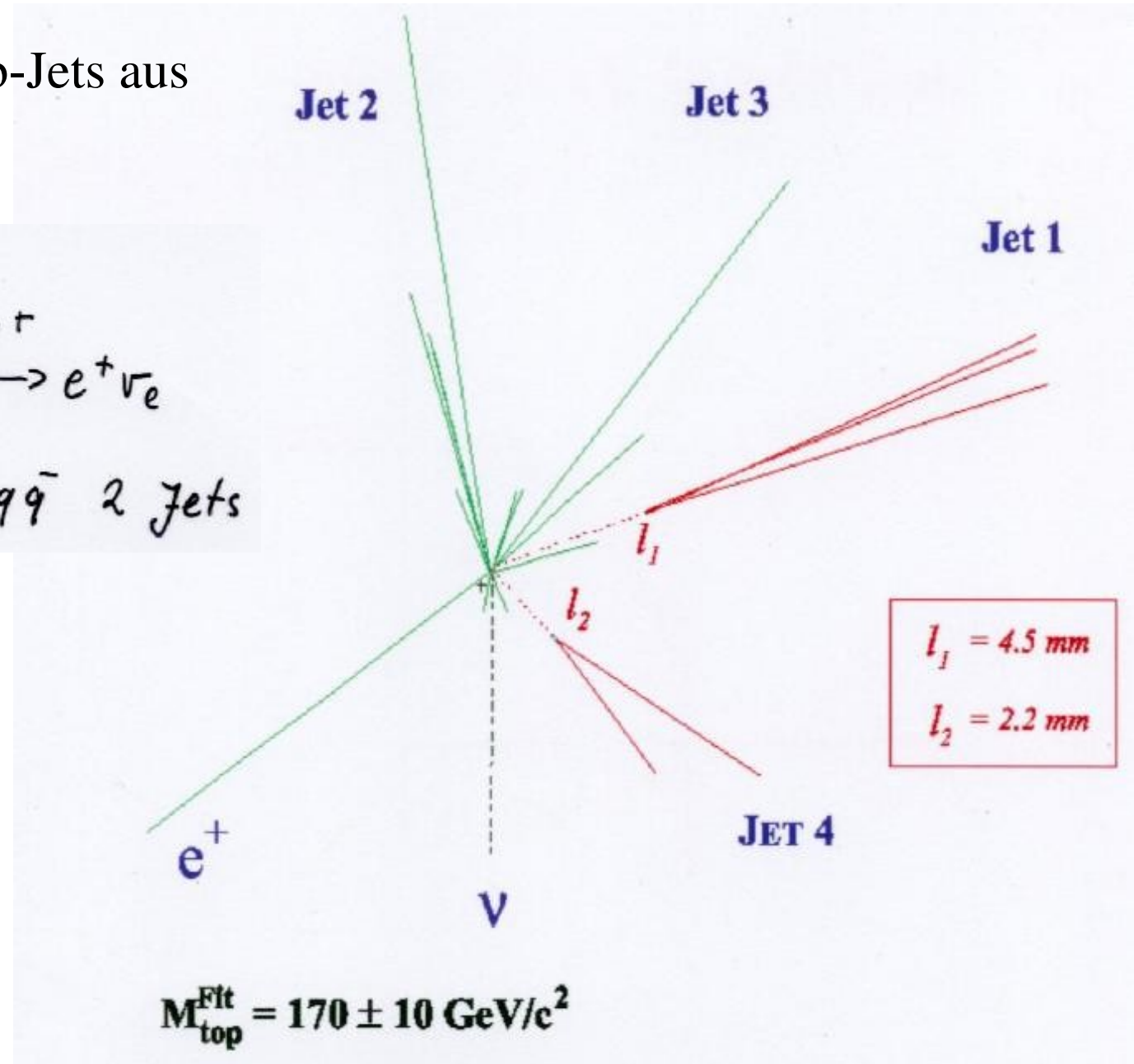


Fig. 3-8

$e + 4$ jet event

40758_44414

24-September, 1992

TWO jets tagged by SVX

fit top mass is 170 ± 10 GeV

e^+ , Missing E_T , jet #4 from top

jets 1,2,3 from top (2&3 from W)

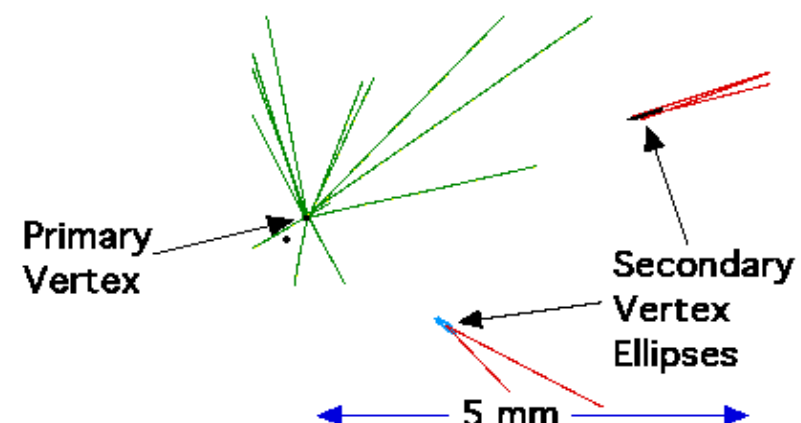
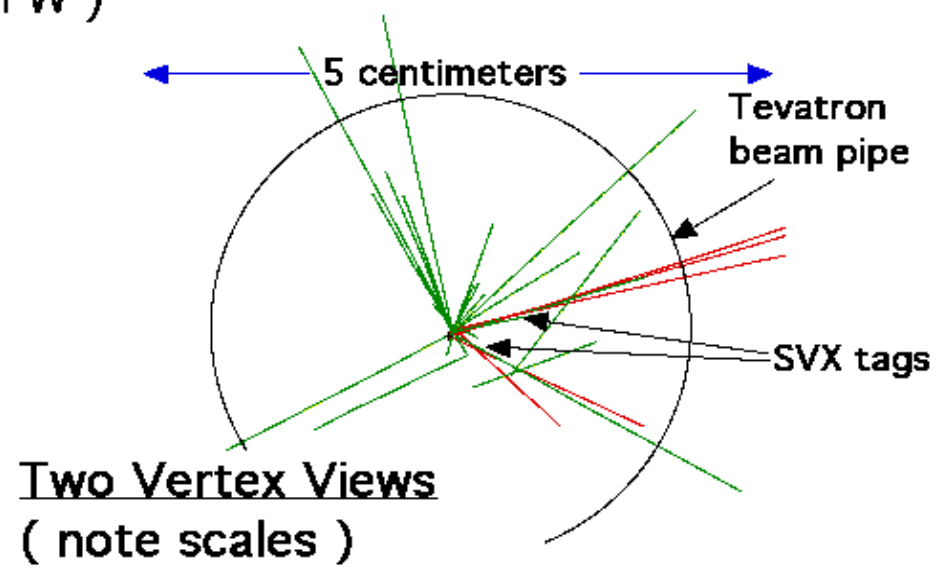
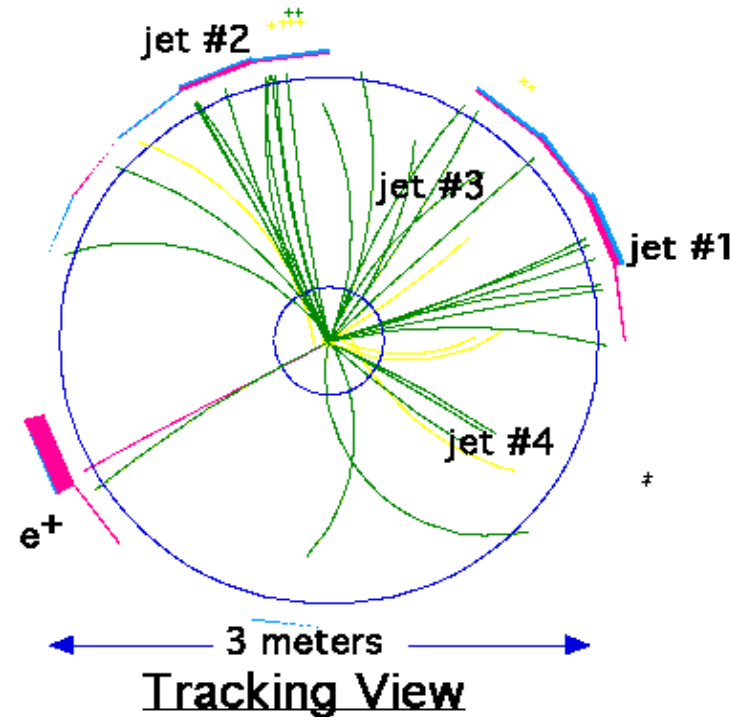
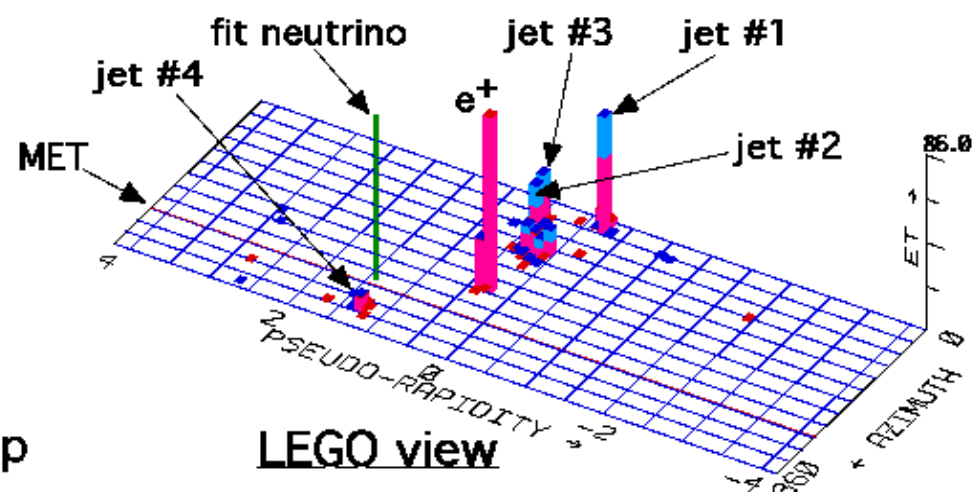


Fig. 3-9